

DAFTAR PUSTAKA

- Alakpa, E. V. et al. (2018) 'The Prismatic Topography of *Pinctada maxima* Shell Retains Stem Cell Multipotency and Plasticity In Vitro', *Advanced Biosystems*, 2(6). Available at: <https://doi.org/10.1002/adbi.201800012>.
- Anggraini, R.M. and Yusuf, Y. (2019) 'The Effect of Stirring Time on the Characteristics of Carbonated Hydroxyapatite from Pearl Shells (*Pinctada maxima*)', in *IOP Conference Series: Materials Science and Engineering*. Institute of Physics Publishing. Available at: <https://doi.org/10.1088/1757-899X/546/4/042002>.
- Biomimetic, S. et al. (2024) 'Biomimetic Scaffolds of Calcium-Based Materials for Bone Regeneration', *Biomimetics 2024*, Vol. 9, Page 511, 9(9), p. 511. Available at: <https://doi.org/10.3390/BIOMIMETICS9090511>.
- Biomineral-Based, S. et al. (2024) 'Biomineral-Based Composite Materials in Regenerative Medicine', *International Journal of Molecular Sciences 2024*, Vol. 25, Page 6147, 25(11), p. 6147. Available at: <https://doi.org/10.3390/IJMS25116147>.
- Blay, C. et al. (2014) 'Influence of nacre deposition rate on cultured pearl grade and colour in the black-lipped pearl oyster *Pinctada margaritifera* using farmed donor families', *Aquaculture International*, 22(2), pp. 937–953. Available at: <https://doi.org/10.1007/s10499-013-9719-5>.
- Brundavanam, R.K., Fawcett, D. and Poinern, G.E.J. (2017) 'Synthesis of a bone like composite material derived from waste pearl oyster shells for potential bone tissue bioengineering applications', *International Journal of Research in Medical Sciences*, 5(6), p. 2454. Available at: <https://doi.org/10.18203/2320-6012.ijrms20172428>.
- Canullo, L. et al. (2016) 'Alveolar socket preservation technique: Effect of biomaterial on bone regenerative pattern', *Annals of Anatomy - Anatomischer Anzeiger*, 206, pp. 73–79. Available at: <https://doi.org/10.1016/J.AANAT.2015.05.007>.
- Chandha, M.H. et al. (2022) 'Pinctada Maxima Pearl Shells as a Promising Bone Graft Material in the World of Dentistry', *Open Access Macedonian Journal of Medical Sciences*, 10(D), pp. 109–115. Available at: <https://doi.org/10.3889/oamjms.2022.8529>.
- Cruz, P. et al. (2024) 'Atypical histological presentation of bone regeneration after insertion of cryoprotected allogeneic bone graft', *Medicina Oral Patología Oral y Cirugía Bucal*, 29(1), pp. e103–e110. Available at: <https://doi.org/10.4317/medoral.26094>.
- )) 'Effect of the Combination of Demineralization Freeze Dried (FDDM) and *Moringa oleifera* Lam on Osteoprotegerin (OPG) Activator of Nuclear Factor Kappa B Ligand (RANKL) as a Marker of Osteoporosis', *Systematic Reviews in Pharmacy*, 11(6), pp. 771–779. Available at: <https://doi.org/10.31838/srp.2020.6.113>.

- Ebenezer, E. et al. (2022) 'Socket preservation techniques: An overview with literature review', *SRM Journal of Research in Dental Sciences*, 13(3), p. 115. Available at: https://doi.org/10.4103/SRMJRDS.SRMJRDS_79_22.
- Ferraz, M.P. (2023) 'Bone Grafts in Dental Medicine: An Overview of Autografts, Allografts and Synthetic Materials', *Materials*. MDPI. Available at: <https://doi.org/10.3390/ma16114117>.
- Gani, A. et al. (2022) 'Effectiveness of Combination of Chitosan Gel and Hydroxyapatite from Crabs Shells (*Portunus pelagicus*) Waste as Bonegraft on Periodontal Network Regeneration through IL-1 and BMP-2 Analysis', *International Journal of Biomaterials*, 2022. Available at: <https://doi.org/10.1155/2022/1817236>.
- Gerhard, E. et al. (2017) *Design Strategies and Applications of Nacre-based Biomaterials*.
- Gonzalez, A.C.D.O. et al. (2016) 'Wound healing - A literature review', *Anais Brasileiros de Dermatologia*. Sociedade Brasileira de Dermatologia, pp. 614–620. Available at: <https://doi.org/10.1590/abd1806-4841.20164741>.
- Guskuma, M.H. et al. (2014) 'Evaluation of the presence of VEGF, BMP2 and CBFA1 proteins in autogenous bone graft: Histometric and immunohistochemical analysis', *Journal of Cranio-Maxillofacial Surgery*, 42(4), pp. 333–339. Available at: <https://doi.org/10.1016/J.JCMS.2013.05.022>.
- Hastuti, S. et al. (2019) 'PERFORMA PERTUMBUHAN TIRAM MUTIARA (Pinctada maxima) YANG DIBUDIDAYAKAN DENGAN KEPADATAN BERBEDA MENGGUNAKAN SISTIM LONGLINE The Biological Performance Of Pearl Oysters (Pinctada Maxima) Which Are Cultured In Different Densities Uses A Longline System', *Indonesian Journal of Fisheries Science and Technology*, 15(1). Available at: <http://ejournal.undip.ac.id/index.php/saintek>.
- Homkrajae, A. et al. (2021) 'INTERNAL STRUCTURES OF KNOWN PINCTADA MAXIMA PEARLS: CULTURED PEARLS FROM OPERATED MARINE MOLLUSKS', *Gems and Gemology*, 57(3), pp. 186–205. Available at: <https://doi.org/10.5741/GEMS.57.3.186>.
- Kangal, M.K.O. and Regan, J.-P. (2023) 'Wound Healing', *StatPearls* [Preprint]. Available at: <https://www.ncbi.nlm.nih.gov/books/NBK535406/> (Accessed: 19 September 2024).
- Kondo, T. et al. (2023) 'Current perspectives of residual ridge resorption: Pathological activation of oral barrier osteoclasts', *Journal of Prosthodontic Research*. Japan Prosthodontic Society, pp. 12–22. Available at: https://doi.org/10.2186/jpr.JPR_D_21_00333.
- no, V. and Dahlan, A. (2023) 'Expression and ratio of receptor clear factor kappa-? ligand and osteoprotegerin following *Nigella sativa*/bovine bone graft combination in post tooth ts', *Journal of Indian Prosthodontic Society*, 23(3), pp. 277–284. https://doi.org/10.4103/jips.jips_198_23.



- Li, X. et al. (2018) 'Calcium carbonate nanoparticles promote osteogenesis compared to adipogenesis in human bone-marrow mesenchymal stem cells', *Progress in Natural Science: Materials International*, 28(5), pp. 598–608. Available at: <https://doi.org/10.1016/J.PNSC.2018.09.004>.
- Lind, C.E. et al. (2009) 'Decreased genetic diversity and a reduced effective population size in cultured silver-lipped pearl oysters (*Pinctada maxima*)', *Aquaculture*, 286(1–2), pp. 12–19. Available at: <https://doi.org/10.1016/j.aquaculture.2008.09.009>.
- Minetti, E. et al. (2023) 'Socket Preservation Using Dentin Mixed with Xenograft Materials: A Pilot Study', *Materials*, 16(14). Available at: <https://doi.org/10.3390/MA16144945>.
- Montanhini, P. et al. (2023) 'Bovine Grafting: An Effective Alternative after Curettage of Benign Bone Tumors', *Life*, 13(3). Available at: <https://doi.org/10.3390/life13030789>.
- Nayak, D.G., Uppoor, A. and Abhay, K. (2021) *Fundamentals of periodontology and oral implantology*. 3rd edn. New Delhi: RELX India Private Limited.
- Oktawati, S. et al. (2021) *Effectiveness Nacre Pearl Shell (*Pinctada Maxima*) as Bone Graft for Periodontal Bone Remodeling*. Available at: <http://annalsofrscb.ro>.
- Omi, M. and Mishina, Y. (2022) 'Roles of osteoclasts in alveolar bone remodeling', *Genesis (United States)*. John Wiley and Sons Inc. Available at: <https://doi.org/10.1002/dvg.23490>.
- Patty, D.J. et al. (2022) 'Mechanical Characteristics and Bioactivity of Nanocomposite Hydroxyapatite/Collagen Coated Titanium for Bone Tissue Engineering', *Bioengineering*, 9(12). Available at: <https://doi.org/10.3390/bioengineering9120784>.
- Peate, I. and Glencross, W. (2015) *Wound Care*. United Kongdom: Wiley Blackwell.
- Pradhitta, R.A. et al. (2023) 'A Developmental Biology of Endochondral Ossification Critical Size Defect Bone', *Malaysian Journal of Medicine and Health Sciences*, 19, pp. 198–202. Available at: <https://scholar.unair.ac.id/en/publications/a-development-biology-of-endochondral-ossification-critical-siz> (Accessed: 19 September 2024).
- Pranskunas, M., Galindo-Moreno, P. and Padial-Molina, M. (2019a) 'Extraction Socket Preservation Using Growth Factors and Stem Cells: a Systematic Review', *Journal of Oral and Maxillofacial Research*, 10(3). Available at: <https://doi.org/10.5037/jomr.2019.10307>.
- Pranskunas, M., Galindo-Moreno, P. and Padial-Molina, M. (2019b) 'Extraction Socket Preservation Using Growth Factors and Stem Cells: a Systematic Review', *Journal of Oral and Maxillofacial Research*, 10(3). Available at: <https://doi.org/10.5037/jomr.2019.10307>.
- Rahmi, A. and Perdanakusuma, D. (2019) 'Proses Penyembuhan dan Perbaikan Patah Tulang di Paha dari Aspek Mekanisme Seluler dan Molekuler', *Qanun Medika*, 1(1).



- Raditya Nignsih, J. et al. (2019) *RE-EPITELISASI LUKA SOKET PASCA PENCABUTAN GIGI SETELAH PEMBERIAN GEL GETAH PISANG RAJA (Musa sapientum L) Kajian histologis pada marmut (Cavia cobaya)*, *Jurnal Ilmu Kedokteran Gigi*. Online.
- Rahayu, S., Kurniawidi, D.W. and Gani, A. (2018) 'Pemanfaatan Limbah Cangkang Kerang Mutiara (Pinctada Maxima) Sebagai Sumber Hidroksiapatit', *Jurnal Pendidikan Fisika dan Teknologi*, 4(2), pp. 226–231. Available at: <https://doi.org/10.29303/jpft.v4i2.839>.
- Sapoznikov, L. et al. (2023) 'A novel porcine dentin-derived bone graft material provides effective site stability for implant placement after tooth extraction: a randomized controlled clinical trial', *Clinical Oral Investigations*, 27(6), pp. 2899–2911. Available at: <https://doi.org/10.1007/s00784-023-04888-5>.
- Shofiyani, A. and Agus Wibowo, M. (2019) 'EKSTRAKSI KALSIUM KARBONAT (CaCO 3) DARI BAHAN DASAR CANGKANG KERANG ALE-ALE (Meretrix meretrix) PADA TEMPERATUR KALSINASI 500°C', 8(1), pp. 54–58.
- Soekobagiono, S., Alfiandy, A. and Dahlan, A. (2018) 'RANKL expressions in preservation of surgical tooth extraction treated with Moringa (Moringa oleifera) leaf extract and demineralized freeze-dried bovine bone xenograft', *Dental Journal (Majalah Kedokteran Gigi)*, 50(3), p. 149. Available at: <https://doi.org/10.20473/J.DJMKG.V50.I3.P149-153>.
- Southgate, P. and Lucas, J. (2008) *The Pearl Oyster*. United Kingdom: Elsevier.
- Stumbras, A. et al. (2019) 'Alveolar Ridge Preservation after Tooth Extraction Using Different Bone Graft Materials and Autologous Platelet Concentrates: a Systematic Review', *Journal of Oral and Maxillofacial Research*, 10(1). Available at: <https://doi.org/10.5037/jomr.2019.10102>.
- Sukpaita, T. et al. (2023) 'Alveolar ridge preservation in rat tooth extraction model by chitosan-derived epigenetic modulation scaffold', *Journal of Prosthodontic Research [Preprint]*. Available at: https://doi.org/10.2186/jpr_d_23_00006.
- Tobeiha, M. et al. (2020) 'RANKL/RANK/OPG Pathway: A Mechanism Involved in Exercise-Induced Bone Remodeling', *BioMed Research International*. Hindawi Limited. Available at: <https://doi.org/10.1155/2020/6910312>.
- Udeabor, S.E. et al. (2023) 'Current Knowledge on the Healing of the Extraction Socket: A Narrative Review', *Bioengineering*. Multidisciplinary Digital Publishing Institute (MDPI). Available at: <https://doi.org/10.3390/bioengineering10101145>.
- Venkatesan, J., Bhatnagar, I. and Kim, S.K. (2014) 'Chitosan-alginate biocomposite for bone tissue engineering', *Marine Drugs*, 12(1), pp. 300–313. Available at: <https://doi.org/10.3390/md12010300>.
-) 'Bone tissue regeneration: The role of finely tuned pore reactive scaffolds before clinical translation', *Bioactive Materials*, 11(1), pp. 1242–1254. Available at: <https://doi.org/10.1016/J.BIOACTMAT.2020.11.003>.

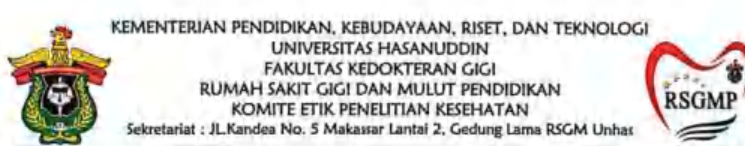


- Yankov, Y.G. (2023) 'Socket Preservation and Guided Bone Regeneration: Prerequisites for Successful Implant Dentistry', *Cureus* [Preprint]. Available at: <https://doi.org/10.7759/cureus.48785>.
- Yonatasya, F.D., Prananingrum, W. and Ashrin, M.N. (2019) 'Pengaruh Bone Graft Senyawa Kalsium Hasil Sintesis Cangkang Kerang Darah (Anadara granosa) dengan Variasi Waktu Sintering terhadap Proliferasi Sel Fibroblas pada Proses Socket Healing', *Denta Jurnal Kedokteran Gigi*, 13(1), pp. 34–43.
- Zhao, R. et al. (2021) 'Bone grafts and substitutes in dentistry: A review of current trends and developments', *Molecules*. MDPI AG. Available at: <https://doi.org/10.3390/molecules26103007>.
- Zhao, R., Kamon, M. and Sakamoto, K. (2014) 'Epigallocatechingallate Interferes RANKL/RANK Signal Pathway and Induces Apoptosis during Osteoclastogenesis in RAW264 Cell', *Food and Nutrition Sciences*, 05(02), pp. 107–116. Available at: <https://doi.org/10.4236/FNS.2014.52014>.



Optimized using
trial version
www.balesio.com

Lampiran 1. Lembar Etik Penelitian



REKOMENDASI PERSETUJUAN ETIK

Nomor: 0194/PL.09/KEPK-FKG-RSGM UNHAS/2024

Tanggal: 14 Agustus 2024

Dengan ini menyatakan bahwa protokol dan dokumen yang berhubungan dengan protokol berikut ini telah mendapatkan persetujuan etik:

No. Protokol	UH 17121204	No Protokol Sponsor	
Peneliti Utama	drg. Ainun Isnaeni Ilham	Sponsor	Pribadi
Judul Peneliti	Ekspresi Receptor Activator of Nuclear Factor-Kappa β (RANK) Pasca Pemberian Kalsium Karbonat Dari Cangkang Kerang Mutiara (Pinctada Maxima) Non-Budidaya Pada Tindakan Socket Preservation		
No. Versi Protokol	1	Tanggal Versi	1 Agustus 2024
No. Versi Protokol		Tanggal Versi	
Tempat Penelitian	<ul style="list-style-type: none"> - Pulau Bontosua, Kabupaten Pangkajene dan Kepulauan, Sulsel - Laboratorium Politeknik Kimia UNHAS sebagai tempat pembuatan bubuk kalsium karbonat dari cangkang kerang mutiara (Pinctada Maxima) serta pengujian bahan cangkang kerang. - Klinik Hewan Docpet Makassar tempat pemeliharaan dan perlakuan pada hewan coba penelitian - Laboratorium Patologi Anatomi RSP UNHAS tempat pembuatan preparat jaringan hewan coba penelitian - Laboratorium Biokimia Biomol Gedung bersama Pendidikan Fakultas Kedokteran Universitas Brawijaya 		
Dokumen Lain			
Jenis Review	<input type="checkbox"/> Exempted Review <input checked="" type="checkbox"/> Expedited Review <input type="checkbox"/> Fullboard Review	Masa Berlaku 14 Agustus 2024 – 14 Agustus 2025	Frekuensi Review Lanjutan
Ketua Komisi Etik Penelitian	Nama: drg. Erni Marlina, Ph.D., Sp.PM., SubSp.Inf (K)	Tanda Tangan	Tanggal 14 Agustus 2024
Sekretaris Komisi Etik Penelitian	Nama: drg. Muhammad Ikbal, Sp.Pros	Tanda Tangan	Tanggal 14 Agustus 2024

Kewajiban peneliti utama:

- Menyerahkan Amandemen Protokol untuk persetujuan sebelum diimplementasikan
- Memersiapkan laporan SAE ke Komisi Etik dalam 24 jam dan dilengkapi dalam 7 hari
- SUSAR dalam 72 jam setelah peneliti utama menerima laporan.
- Tikan laporan kemajuan (*progress report*) setiap 6 bulan untuk penelitian ringgi dan setiap setahun untuk penelitian resiko rendah.
- Tikan laporan akhir setelah penelitian berakhir.
- Kan penyimpangan dari protokol yang disetujui (*protocol violation*) hi senara izuran yang berlaku.



Lampiran 2. Lembar Perbaikan Ujian Seminar Hasil PPDGS Periodontia

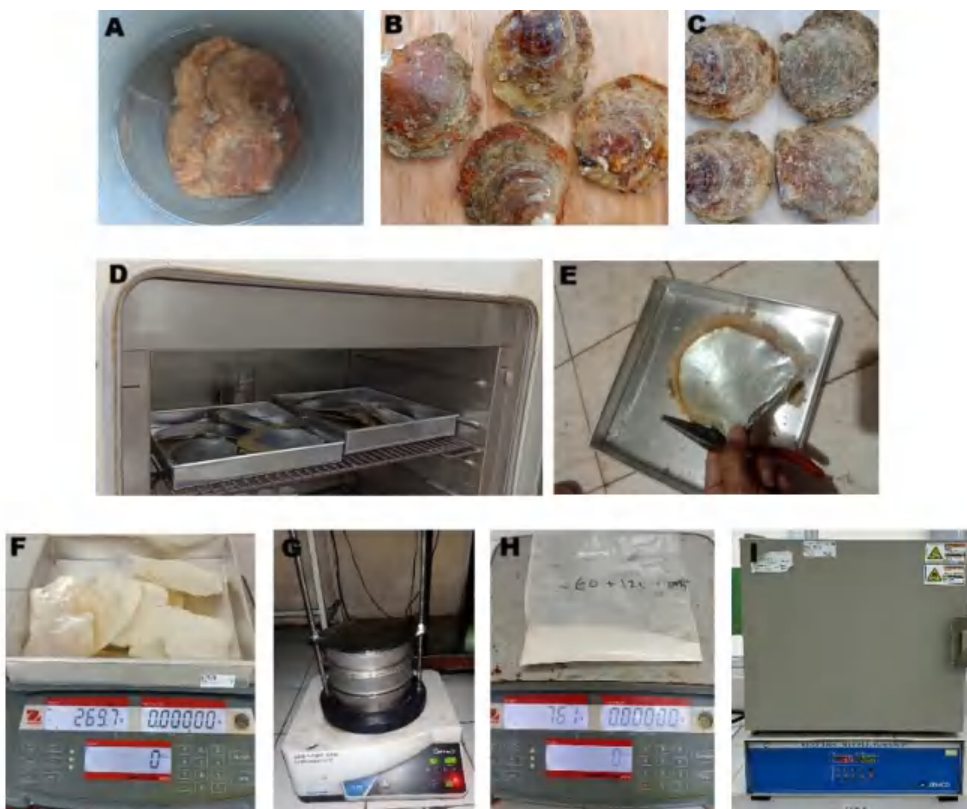
NAMA : Aijun Isnaeni Ilham
 NIM : J035212007
 TANGGAL SEMINAR : 4 Oktober 2024
 JUDUL : Ekspresi Receptor Activator Of Nuclear Factor-Kappa B Ligand (RANKL) Pasca Pemberian Kalsium Karbonat dan Cangkang Kerang Mutiara (Pinctada Maxima) Non-Budidaya pada Tindakan Socket Preservation

No	Nama Pengaji/Pembimbing	Koreksi Tesis	Paraf
1.	Dr. Arni Irawaty Djais, drg., Sp. Perio., Subsp. R.P.I.D (K)	<p>Lakukan Perbaikan berdasarkan masukan dari tim pengaji.</p> <p>Jawaban: Penulisan dan penyusunan tesis telah diperbaiki berdasarkan masukan dari tim pengaji dan dapat dilihat pada naskah.</p>	
2.	Dr.drg.Asdar, M.Kes.	<p>Gambaran imunohistokimia diletakkan sebelum tabel karena ukuran yang didapatkan dari gambar imunohistokimia yang menjadi acuan dalam pembuatan tabel.</p> <p>Jawaban: Gambar imunohistokimia telah diletakkan sebelum tabel dan dapat dilihat pada naskah BAB Hasil</p>	
3.	Prof. Dr. Sri Oktawati, drg., Sp.Perio., Subsp. R.P.I.D (K)	<p>Perbaiki rumusan masalah, hipotesa hingga kesimpulan agar menjadi kalimat yang konsisten dari rumusan masalah hingga kesimpulan</p> <p>Jawaban: telah diperbaik rumusan masalah, hipotesa hingga kesimpulan agar menjadi kalimat yang konsisten dapat dilihat pada naskah</p>	
4.	drg. Dian Setiawati, Sp.Perio. Subsp.M.P.(K)	<ol style="list-style-type: none"> 1. Tambahkan peran RANKL dalam regenerasi tulang pada bagian latar belakang <p>Jawaban: Peran RANKL dalam regenerasi tulang telah ditambahkan pada bagian latar belakang</p> <ol style="list-style-type: none"> 2. Perbaiki kalimat rumusan masalah dan hipotesa serta kesimpulan harus menjawab hipotesa <p>Jawaban: Kalimat rumusan masalah dan hipotesa telah diperbaiki serta kesimpulan telah menjawab hipotesa</p>	



Lampiran 3. Foto Pelaksanaan Penelitian

FOTO PELAKSANAAN PENELITIAN



Gambar 1: Proses pembuatan serbuk kalsium karbonat cangkang kerang mutiara non-budidaya. A. cangkang kerang mutiara non-budidaya (*Pinctada maxima*) direndam dan dibersihkan; B. Cangkang kerang mutiara dijemur 2 jam dibawah sinar matahari langsung; C. Setelah dilakukan penjemuran; D. dikeringkan dalam oven; E. Cangkang kerang di pisahkan dengan Nacre melalui metode konvensional dengan menggunakan tang, gunting, pisau, dan gurinda; F. Cangkang kerang mutiara ditimbang; G. Cangkang kerang mutiara yang telah kering di furnace kemudian dihaluskan; H. Cangkang kerang mutiara ditimbang -60+120 mesh; I. Serbuk yang terbentuk dimasukkan dalam tanur 900 sus selama 2 jam. Kristal dibiarkan dingin dalam tanur selama 24 jam kemudian dipindahkan dalam desikator.





Gambar 2: Prosedur perlakuan pada hewan coba. a.alat dan bahan yang akan digunakan; b. Marmut ditimbang sebelum perlakuan; c.Marmut dianastesi menggunakan obat ketamin (0,4 – 0,6 ml/kg atau 0,1 –0,15 ml/ekor); d.Gigi insisivus kanan rahang bawah diekstraksi tanpa rotasi menggunakan needle holder; e. Kelompok kontrol negatif: soket bekas pencabutan tidak diberi bone graft, kemudian dijahit menggunakan Vicryl 5.0. f.Kelompok uji: bahan serbuk kalsium karbonat cangkang kerang mutiara non-budidaya dimasukkan ke dalam soket gigi selanjutnya dijahit 5.0. g. kelompok kontrol positif : bahan hidroksiapatit masukkan kedalam soket gigi kemudian dijahit dengan penjahitan pada daerah soket gigi; i.pemberian warna ut untuk membedakan antara 3 kelompok perlakuan an antibiotik suspensi doksiklin via oral 1-5 hari setelah ekstraksi gigi





Gambar 3. Proses pengambilan preparat jaringan adalah sebagai berikut:

Sebanyak 3 ekor Marmut *disacrificed* pada masing-masing kelompok perlakuan pada hari ke – 7, 14 dan 28 untuk pengambilan jaringan soket pencabutan dan pengamatan preparat untuk pemeriksaan imunohistokimia

- a. Marmut dilakukan euthanasia menggunakan eter.
 - b. Pengambilan spesimen rahang mandibula Marmut diambil dengan cara dipotong, lalu disimpan dalam larutan formalin buffer 10 %.
 - c. Spesimen tulang rahang dibawa ke Laboratorium PA Fakultas teran Unhas untuk dilakukan pembuatan preparat histokimia.
- rat imunohistokimia yang akan dibawa ke Laboratorium i Molekuler,Fakultas Kedokteran Universitas Brawijaya Packing dengan menggunakan box slide preparat



Lampiran 4. Output Uji Statistik Ekspresi RANKL

Tests of Normality

	Kelompok Perlakuan	Kolmogorov-Smirnov ^a			Shapiro-Wilk		
		Statistic	df	Sig.	Statistic	df	Sig.
RANKL	Xenograft	.163	9	.200*	.970	9	.895
	Bonegraft cangkang	.231	9	.181	.929	9	.475
	Placebo	.205	9	.200*	.927	9	.454

*. This is a lower bound of the true significance.

a. Lilliefors Significance Correction

Hari ke 7

Descriptives

RANKL	N	Mean	Std. Deviation	Std. Error	95% Confidence Interval for Mean		Minimum	Maximum
					Lower Bound	Upper Bound		
Xenograft	3	6.6667	2.08167	1.20185	1.4955	11.8378	5.00	9.00
Bonegraft cangkang	3	8.0000	1.00000	.57735	5.5159	10.4841	7.00	9.00
Placebo	3	9.3333	1.52753	.88192	5.5388	13.1279	8.00	11.00
Total	9	8.0000	1.80278	.60093	6.6143	9.3857	5.00	11.00

ANOVA

RANKL

	Sum of Squares	df	Mean Square	F	Sig.
Between Groups	10.667	2	5.333	2.087	.205
Within Groups	15.333	6	2.556		
Total	26.000	8			



Optimized using
trial version
www.balesio.com

Multiple Comparisons

Dependent Variable: RANKL

LSD

(I) Kelompok Perlakuan	(J) Kelompok Perlakuan	Mean	Std. Error	Sig.	95% Confidence Interval	
		Difference (I-J)			Lower Bound	Upper Bound
Xenograft	Bonegraft cangkang	-1.33333	1.30526	.346	-4.5272	1.8605
	Placebo	-2.66667	1.30526	.087	-5.8605	.5272
Bonegraft cangkang	Xenograft	1.33333	1.30526	.346	-1.8605	4.5272
	Placebo	-1.33333	1.30526	.346	-4.5272	1.8605
Placebo	Xenograft	2.66667	1.30526	.087	-.5272	5.8605
	Bonegraft cangkang	1.33333	1.30526	.346	-1.8605	4.5272

Hari ke 14

Descriptives

RANKL

	N	Mean	Std. Deviation	Std. Error	95% Confidence Interval for Mean			Minimum	Maximum
					Lower Bound	Upper Bound			
Xenograft	3	4.66667	1.52753	.88192	.8721	8.4612	3.00	6.00	
Bonegraft cangkang	3	6.66667	1.52753	.88192	2.8721	10.4612	5.00	8.00	
Placebo	3	10.66667	2.08167	1.20185	5.4955	15.8378	9.00	13.00	
Total	9	7.33333	3.04138	1.01379	4.9955	9.6711	3.00	13.00	

ANOVA

RANKL

	Sum of Squares	df	Mean Square	F	Sig.
Between Groups	56.000	2	28.000	9.333	.014
Within Groups	18.000	6	3.000		
Total	74.000	8			

Multiple Comparisons

Dependent Variable: RANKL

LSD

(I) Kelompok Perlakuan	(J) Kelompok Perlakuan	Mean	Std. Error	Sig.	95% Confidence Interval	
		Difference (I-J)			Lower Bound	Upper Bound
Xenograft	Bonegraft cangkang	-2.00000	1.41421	.207	-5.4605	1.4605
	Placebo	-6.00000*	1.41421	.005	-9.4605	-2.5395
Bonegraft cangkang	Xenograft	2.00000	1.41421	.207	-1.4605	5.4605
	Placebo	-4.00000*	1.41421	.030	-7.4605	-5.395
Placebo	Xenograft	6.00000*	1.41421	.005	2.5395	9.4605
	Bonegraft cangkang	4.00000*	1.41421	.030	.5395	7.4605

significant at the 0.05 level.



Optimized using
trial version
www.balesio.com

Hari ke 21

Descriptives

RANKL

	N	Mean	Std. Deviation	Std. Error	95% Confidence Interval for Mean		Minimum	Maximum
					Lower Bound	Upper Bound		
Xenograft	3	2.3333	1.52753	.88192	-1.4612	6.1279	1.00	4.00
Bonegraft cangkang	3	2.6667	1.52753	.88192	-1.1279	6.4612	1.00	4.00
Placebo	3	12.6667	2.51661	1.45297	6.4151	18.9183	10.00	15.00
Total	9	5.8889	5.34894	1.78298	1.7773	10.0004	1.00	15.00

ANOVA

RANKL

	Sum of Squares	df	Mean Square	F	Sig.
Between Groups	206.889	2	103.444	28.212	.001
Within Groups	22.000	6	3.667		
Total	228.889	8			

Multiple Comparisons

Dependent Variable: RANKL

LSD

(I) Kelompok Perlakuan	(J) Kelompok Perlakuan	Mean Difference (I-J)	95% Confidence Interval			
			Std. Error	Sig.	Lower Bound	Upper Bound
Xenograft	Bonegraft cangkang	-.33333	1.56347	.838	-4.1590	3.4923
	Placebo	-10.33333*	1.56347	.001	-14.1590	-6.5077
Bonegraft cangkang	Xenograft	.33333	1.56347	.838	-3.4923	4.1590
	Placebo	-10.00000*	1.56347	.001	-13.8257	-6.1743
Placebo	Xenograft	10.33333*	1.56347	.001	6.5077	14.1590
	Bonegraft cangkang	10.00000*	1.56347	.001	6.1743	13.8257

*. The mean difference is significant at the 0.05 level.



Optimized using
trial version
www.balesio.com